



Scan online to view this article

Increasing the stability of keratin protein solubility in aqueous solutions using the chemical structure modification by alkylation and sulfitolytic methods

Maryam Saleknezhad, Seyed Morteza Robatjazi*, Mehdi Zeinoddini

Faculty of Chemistry and Chemical Engineering, Malek Ashtar University of Technology, Tehran, Iran.

Abstract

Aim and Background: In the past two decades, proteins and peptides have become an important class of therapeutic drugs. However, their sensitivity to chemical and physical degradation has posed challenges for scientists. Approximate 90% of the chicken feather of slaughterhouse waste is Keratin. Keratin protein is insoluble in water and has a strong tendency to accumulate and precipitate. Today, the stability of proteins in pharmaceutical applications is of great importance.

Materials and Methods: In this study, Keratin was extracted from feather by sodium hydroxide 0.2 M and hydrolyzed by 8% (V/V) Alcalase enzyme in 55 Celsius, at 8 pH. The hydrolyzed Keratin solution was chemically modified by alkylation and sulfitolytic to reduce aggregation. Keratin solubility, degree of chemical modification, percentage of stability, mol amount of free thiol, also DLS, and FTIR of the samples were investigated.

Results: The result showed that the degree of chemical modification of Keratin in the alkylation method was 72% and the sulfitolytic method was 66%. The chemical modification of hydrolyzed Keratin was reduced aggregation at pH3 to 288.65% and 335.3% for alkylation method and sulfitolytic respectively. Investigation of the stability and preservation of protein content showed that the stability of modified Keratin by alkylation method was 81.9% and by sulfitolytic method was 86.3% in 30 days, but the hydrolyzed Keratin as a control preserved only 9.8% of protein content. The result of the DLS test shows that the Keratin modified by alkylation in water has PI=0.476 and a mean particle size of 157.3 nm and Keratin modified by sulfitolytic in water has PI=0.475 and a mean particle size of 136.2 nm, which was more uniform and dispersed than the hydrolyzed Keratin with PI=0.552 and a mean particle size of 990.3 nm.

Conclusion: The chemical modification of hydrolyzed Keratin was a permanent change and binding of expected groups increased the Keratin solubility in aqueous solution and decreases the aggregation at acidic pH. The results of the FTIR analysis confirmed the chemical modification of Keratin.

Keywords: Feather Keratin, Chemical modification, stabilization, Alkylation of protein, sulfitolytic of protein.

Corresponding author:

Faculty of Chemistry and Chemical Engineering, Malek Ashtar University of Technology, Tehran, Iran
Email: s_m_robajazi@mut.ac.ir

برای مشاهده این مقاله به صورت
آنلاین اسکن کنید

افزایش پایداری حلالیت پروتئین کراتین در محلول های آبی با استفاده از اصلاح ساختار شیمیایی به روش آلکیلاسیون و سولفیدولیز

مریم سالک نژاد^۱، سید مرتضی رباط جزی^{*}، مهدی زین الدینی^۲

۱. گروه مهندسی شیمی- بیوتکنولوژی دانشکده شیمی و مهندسی شیمی، دانشگاه صنعتی مالک اشتر، تهران.

۲. گروه بیوتکنولوژی سلولی مولکولی، دانشکده شیمی و مهندسی شیمی، دانشگاه صنعتی مالک اشتر، تهران.

چکیده

سابقه و هدف: در دو دهه گذشته، پروتئین‌ها و پپتیدها تبدیل به یک گروه مهم از داروها شده‌اند. با این حال، حساسیت به تخریب شیمیایی و فیزیکی از چالش‌های اصلی کاربردهای صنعتی و دارویی پروتئین‌ها است. کمابیش ۹۰ درصد از وزن پرمرغ از ضایعات صنایع دام و طیور، کراتین است. این پروتئین نامحلول بوده و تمایل شدیدی به تجمع و رسوب‌دهی دارد.

مواد و روش‌ها: در این پژوهش کراتین از پر مرغ با محلول سدیم هیدروکسید ۰/۲ مولار استخراج شد و توسط آنزیم آلکالاز صنعتی (V/V) ۸ درصد در دمای ۵۵ درجه سانتی‌گراد به مدت ۵ ساعت در pH ۸ هیدرولیز شد. محلول کراتین به دست آمده، توسط روش آلکیلاسیون و سولفیدولیز بهمنظور کاهش اگریکاسیون مورد اصلاح ساختار شیمیایی قرار گرفت. حلالیت کراتین، درجه اصلاح شیمیایی، درصد پایداری، مقدار مول تیول آزاد و همچنین DLS و FTIR نمونه‌ها بررسی شد.

یافته‌ها: نتایج نشان داد درجه اصلاح شیمیایی کراتین در روش آلکیلاسیون ۷۲ درصد و در روش سولفیدولیز با ۶۶ درصد بوده است. اصلاح شیمیایی کراتین هیدرولیز شده باعث کاهش اگریکاسیون در pH ۳ به میزان ۲۸۸/۶۵ درصد و ۳۳۵/۳ درصدی به ترتیب برای روش آلکیلاسیون و روش سولفیدولیز به دست آمده است. بررسی پایداری و حفظ محتوی پروتئینی نشان داد، کراتین اصلاح شده به روش آلکیلاسیون ۸۱/۹ درصد و کراتین اصلاح شده به روش سولفیدولیز ۸۶/۳ درصد در طی ۳۰ روز پایدار بوده است در صورتی که کراتین هیدرولیز شده به عنوان شاهد تنها ۹/۸ درصد از محتوای پروتئینی خود را حفظ کرده و پایداری داشته است. نتیجه تست DLS نمونه محلول کراتین اصلاح شده با روش آلکیلاسیون در آب، دارای $PI=0/476$ و اندازه متوسط ذرات ۱۵۷/۳ نانومتر است، در نمونه کراتین اصلاح شده با روش سولفیدولیز در آب، مقدار $PI=0/475$ و اندازه متوسط ذرات ۱۳۶/۲ نانومتر تعیین گردید، که نسبت به نمونه کراتین هیدرولیز شده با $PI=0/552$ و اندازه متوسط ۹۹۰/۳ نانومتر، یکنواخت‌تر و پراکنده‌تر بوده است.

نتیجه‌گیری: اصلاح شیمیایی انجام شده بر روی کراتین هیدرولیز شده تغییری دائمی بوده و اتصال گروه‌های عاملی مورد انتظار باعث افزایش حلالیت کراتین در محیط‌های آبی و کاهش تجمع در pH اسیدی شده است. همچنین نتایج آنالیز اصلاح شیمیایی کراتین را تأیید کرد.

واژه‌های کلیدی: کراتین پر مرغ، اصلاح شیمیایی، پایدارسازی، آلکیلاسیون پروتئین، سولفیدولیز پروتئین.

جایگاه بیوتکنولوژی به عنوان یک مبنای تحقیق و توسعه دارویی تعیین شده است و داروهای جدید مبتنی بر پروتئین در طول دهه‌های آینده به سرعت در حال افزایش است (۱). علاوه بر صنعت دارو و مباحث درمانی، پروتئین‌ها در صنایع غذایی (۲)

مقدمه

نویسنده مسئول:

گروه مهندسی شیمی- بیوتکنولوژی دانشکده شیمی و مهندسی شیمی،

دانشگاه صنعتی مالک اشتر، تهران

پست الکترونیکی: s_m_robajazi@mut.ac.ir

تاریخ دریافت: ۱۳۹۹/۰۶/۳۰

سیستین و متیونین است (۲۰). برای افزایش حلالت کراتین استخراج شده در حلال‌های آبی، رویکردهای مختلفی مطرح شده است که بیشتر آن‌ها شامل ایجاد تغییرهای شیمیایی در کراتین هستند (۲۱) از این تکنیک در صنایع داروسازی، غذا و خوراک و یا دیگر موارد صنعتی در سطوح پیچیده استفاده می‌شود (۲۲)، از جمله تکنیک‌های ویژه‌ای که در سال‌های اخیر برای کمک به تحقیق و بهره‌برداری از ساختار پروتئین توسعه داده شده است، ایجاد تغییرهای شیمیایی در ساختار پروتئین است (۲۳). اصلاح شیمیایی پروتئین یک تکنیک حل مسئله در تحقیقات و فناوری است (۲۴). اصلاح شیمیایی می‌تواند به طور طبیعی بدون دخالت نیز به مرور زمان انجام شود (۲۵) به طور کلی، این واکنش‌های اصلاحاتی به طور عمده روی زنجیره‌های جانبی انجام می‌شود مانند اکسیداسیون، احیا، جایگزینی نوکلئوفیلی^۱ و الکتروفیل^۲. پروتئین‌ها به طور عمده برای مطالعه‌های روابط ساختاری یا بهبود عملکرد و یا تولید محصول جدید، اصلاح می‌شوند (۲۶). گروه‌های سولفیدریل، واکنش‌پذیرترین گروه جانبی هستند که به طور معمول در پروتئین‌ها یافت می‌شوند، بهمین علت در ابتدا، اصلاح شیمیایی بر روی این گروه اتفاق می‌افتد (۲۷). آلکیلاسیون سیستئین از قدیمی‌ترین و مرسوم‌ترین روش‌های اصلاح شیمیایی است (۲۸). در اصلاح شیمیایی سیستئین پس از کاهش به طور کلی همه گروه‌های تیول بسته می‌شود (۲۹) که در نتیجه باعث افزایش پایداری می‌گردد (۳۰). لذا اکسیداسیون سیستئین موجود در کراتین می‌تواند منجر به تولید یک مشتق از کراتین پایدارتر و محلول در آب شود (۳۱). سولفیدولیز یک روش خفیف برای باز کردن پیوندهای دی‌سولفیدی پروتئین است (۳۲). که برش دی‌سولفیدها توسط یون‌های سولفیت منجر به تشکیل سولفونات می‌شود (۳۳) به طور کلی اصلاح شیمیایی پروتئین‌ها اغلب به منظور بهبود خواص عملکردی مورد استفاده قرار گرفته است (۳۴).

با توجه به این که پر مرغ سر شار از کراتین است و حجم بالایی از ضایعات را به خود اختصاص داده است تولید محصول با ارزش افزوده بالا می‌تواند مهم واقع شود. پروتئین کراتین در آب نامحلول بوده و استفاده از آن را برای مصارف صنعتی و دارویی

آرایشی و بهداشتی (۳) کاربرد گسترده‌ای دارند، که پایداری و ثبات این پروتئین‌ها جهت استفاده و نگهداری حائز اهمیت است (۴) با این حال، حساسیت آن‌ها به تخریب شیمیایی و فیزیکی چالش‌هایی برای دانشمندان برای شکل‌گیری داروها به صورت پایدار به وجود آورده است (۱). در حال حاضر علاقه به تولید پروتئین‌ها از ضایعات در حال رشد است، که علاوه بر ارزش افزوده بالا، باعث کاهش منافع محیط زیستی را نیز به دنبال دارد (۵). تحقیقات در خصوص تولید پروتئین‌ها افزایش یافته است اما در این بین به کراتین موجود در پر مرغ توجه بسیار کمی شده است (۶). سالانه ۸/۵ میلیون تن پر مرغ به عنوان ضایعات کشتارگاهی در سراسر جهان تولید می‌شود (۷)، پر کمابیش از ۹۰ درصد پروتئین کراتین تشکیل شده است که می‌تواند در تهیه کرم‌های آرایشی، شامپو و مو استفاده شود (۸). کراتین هیدرولیز شده، جزئی از پروتئین کراتین است که وزن مولکولی پایین‌تری دارد و دارای خواص فیزیکی مناسب‌تری جهت استفاده در فرآورده‌های صنعتی است (۹) در طی هیدرولیز شیمیایی، هر دو نوع پیوندهای کراتین (دی‌سولفید و پیپتید) شکسته می‌شود (۱۰) و ساختار کراتین هیدرولیز شده و ساختار پروتئین کراتین متفاوت است (۱۱). یک خصوصیت مهم کراتین تعداد زیاد پیوندهای دی‌سولفیدی در مقایسه با سایر پروتئین‌های ساختاری است (۱۲) در نتیجه به علت پهنه‌ای پیوند دی‌سولفیدی و مقدار زیاد اسید آمینه‌های هیدروفوبیک کراتین در حلال‌های قطبی مثل آب حل نمی‌شود (۱۳)، لذا برای استفاده از کراتین در کاربردهای صنعتی نیاز به تهیه محلول پایدار کراتین است (۱۴). بی‌ثباتی شیمیایی به تشکیل یا تخریب پیوندهای کوالانتسی در مولکول پلی‌پیپتید یا پروتئین مربوط می‌شود (۱۵). این تغییرهای ساختار اولیه پروتئین را دگرگون ساخته و سطح بالایی از ساختار آن را تحت تأثیر قرار می‌دهد (۱۶). ناپایداری‌های فیزیکی شامل تجمع، تهشیشی، چسبیدن به سطح و بازشگی پروتئین است (۱۷).

ناپایداری‌های شیمیایی نظیر شکستگی پیوند دی‌سولفید، ممکن است منجر به ناپایداری‌های فیزیکی شود (۱۸). کراتین استخراجی از پر، جرم مولکولی در حدود ۱۰ کیلو دالتون دارد که به علت وجود مقدار زیاد سیستئین پلی‌مره می‌شود و جرم مولکولی در حدود ۳۴ الی ۴۰ کیلو دالتون را به وجود می‌آورد (۱۹). پر مرغ کمابیش حاوی ۶-۷ درصد آمینو اسیدهای

^۱-Nucleophilic Substitution

^۲-Electrophile

محلول کراتین هیدرولیز شده در مقابل آب قطر ۲۴ ساعت دیالیز شد. درجه هیدرولیز توسط روش pH-stat (۳۵) و سایز کراتین هیدرولیز شده توسط روش SDS-Page تعیین شد (۳۶).

اصلاح شیمیایی محلول کراتین هیدرولیز شده
در این پژوهش اصلاح شیمیایی بر روی کراتین هیدرولیز شده پر مرغ به دو روش شیمیایی به شرح زیر انجام و نتایج با یکدیگر مقایسه شد.

الف: اصلاح شیمیایی کراتین هیدرولیز شده به روش آلکیلاسیون

اصلاح شیمیایی به روش آلکیلاسیون بر اساس روش crestfield انجام شد (۳۷). عوامل تأثیرگذار شامل دما، نسبت غلاظت یدواستیک اسید به مقدار سیستئین موجود در کراتین، pH و زمان واکنش توسط نرمافزار تاگوچی (Qualitek 4) در ۴ عامل و ۳ سطح توسط ۹ آزمایش بهینه سازی شد (طبق جدول ۱ و ۲). بدین منظور در هر آزمایش از ۱۵ میلی لیتر محلول کراتین هیدرولیز شده با غلاظت معین در تمام آزمایش‌های استفاده شد. به علت حساسیت مواد استفاده شده، واکنش در تاریکی و زیر هود شیمیایی تا رسیدن به محلول کربوکسی متیل کراتین ادامه یافت. در مدت زمان انجام واکنش pH کنترل شد و افت آن توسط محلول سود ۳ مولار جبران شد و محلول توسط هم-زن مغناطیسی یکنواخت گردید.

جدول ۱: سطح‌بندی و عوامل مؤثر در واکنش اصلاح شیمیایی کراتین هیدرولیز شده به روش آلکیلاسیون

عامل	سطح ۱	سطح ۲	سطح ۳
یدواستیک اسید/ سیستئین	۱	۲	۴
pH	۸	۸	۹
دما (درجه سانتی گراد)	۴	۲۵	۴۵
زمان (دقیقه)	۱۵	۴۵	۹۰

جدول ۲: آزمایش‌های طراحی شده توسط نرمافزار تاگوچی جهت بهینه‌سازی روش آلکیلاسیون

عامل	شماره آزمایش			
یدواستیک اسید/ سیستئین	pH	دما	زمان	
۱	۱	۲	۱	۱
۱	۲	۱	۲	۲
۱	۳	۲	۳	۳
۲	۱	۱	۳	۴
۲	۲	۳	۱	۵

غیرممکن می‌سازد، لذا پایدارسازی کراتین در محیط‌های آبی به علت تجمع و از دست دادن محتوای پروتئینی بسیار پر اهمیت است، روش‌های متعددی جهت پایدارسازی وجود دارد که در این تحقیق اصلاح شیمیایی به روش آلکیلاسیون و سولفیدولیز بر روی کراتین هیدرولیز شده همراه با بهینه‌سازی انجام شد، تأیید گروه‌های عاملی موردنظر، افزایش حلالت، افزایش مقاومت در برابر عوامل ناپایدار کننده و کاهش تجمع پروتئینی از مهم‌ترین ارزیابی‌های بررسی شده این پژوهش است.

مواد و روش‌ها

در این تحقیق پرسفید جوجه گوشتی ضایعات کشتارگاهی طیور از شرکت انکا، ۲-مرکاپتواتانول از سیگما، معرف المن از مرک، آنزیم آلکالاز از شرکت نوآنژیم دانمارک، یدواستیک اسید از شرکت مرک، سدیم سولفات از مرک تهیه گردید. تمام مواد شیمیایی دیگری استفاده شده، با خلوص بالا از شرکت‌های مرک، سیگما-الدیج خریداری شده است.

تهیه محلول کراتین هیدرولیز شده

استخراج کراتین از پر مرغ توسط ۲۵ میلی لیتر سود ۰/۲ مولار به ازای هر گرم پر در دمای ۷۰ درجه سانتی گراد به مدت ۱۲ ساعت انجام شد. سپس کراتین استخراج شده توسط (V/V) ۸ درصد آنزیم آلکالاز صنعتی به حجم محلول کراتین استخراجی در دمایی ۵۵ درجه سانتی گراد به مدت ۵ ساعت در pH برابر ۸ هیدرولیز شد، افت pH با سود ۰/۳ مولار جبران شد. سپس

۲	۳	۲	۲	۶
۳	۱	۳	۲	۷
۳	۲	۲	۳	۸
۳	۳	۱	۱	۹

آزمایش از ۱۵ میلی لیتر محلول کراتین هیدرولیز شده با غلظت ثابت در تمام آزمایش‌ها استفاده شد. بافر سدیم سولفیت اضافه شد و ۱ ساعت در شیکر قرار داده شد. دمای شیکر و حجم بافر سولفیت طبق جدول ۳ و ۴ تعیین شد. سپس بافر اوره-تریس با pH/۵ و -۲-مرکاپتواتانول/۰ مولار اضافه شد و بهمدت ۲ ساعت در دمای ۳۰ درجه سانتی گراد در شیکر قرار داده شد.

ب: اصلاح شیمیایی کراتین هیدرولیز شده به روش سولفیدولیز

اصلاح شیمیایی ملایم باندهای دی‌سولفیدی به روش سولفیدولیز انجام شد (۳۸). عوامل تأثیرگذار در این روش شامل دما و نسبت حجم بافر سولفیت به سیستئین موجود در پروتئین توسط نرم‌افزار تاگوچی در ۲ عامل و ۳ سطح توسط ۹ آزمایش بهینه‌سازی شد (طبق جدول ۴ و ۳). بدین منظور در هر

جدول ۳: سطح‌بندی و عوامل مؤثر در واکنش اصلاح شیمیایی کراتین هیدرولیز شده به روش سولفیدولیز

عامل	سطح ۱	سطح ۲	سطح ۳
دما (درجه سانتی گراد)	۲۵	۲۵	۴
حجم بافر سولفیت / سیستئین	۰/۵	۱	۲

به روش آلکیلاسیون و سولفیدولیز و هم‌چنین محلول کراتین هیدرولیز شده به عنوان شاهد انجام شد.

تست‌های تأییدی فقط بر روی نمونه‌های لیوفلیز شده نقاط بهینه به دست آمده نرم‌افزار تاگوچی برای کراتین اصلاح شده

جدول ۴: آزمایش‌های طراحی شده توسط نرم‌افزار تاگوچی جهت بهینه‌سازی روش سولفیدولیز

شماره آزمایش	عامل		
	دما	حجم بافر سولفیت / سیستئین	عامل
۱	۱	۱	۱
۲	۱		۲
۳	۱		۳
۴	۲		۱
۵	۲		۲
۶	۲		۳
۷	۳		۱
۸	۳		۲
۹	۳		۳

برابر با ۱ سانتی‌متر است، E برابر است با $14150 \text{ M}^{-1} \text{ cm}^{-1}$ و C برابر است با غلظت تیول آزاد در نمونه.

$$C = \frac{A}{bE} \quad \text{فرمول ۱}$$

کدورت سنجی

مقدار کدورت محلول کراتین اصلاح شده در هر مرحله بعد از اصلاح شیمیایی به روش آلکیلاسیون و سولفیدولیز توسط

اندازه‌گیری مقدار گروه تیول آزاد

اندازه‌گیری گروه تیول آزاد توسط معرف المن انجام شد (۳۹). سپس جذب نمونه در ۴۱۲ nm خوانده شد. میزان و غلظت سولفیدولیز در هر نمونه از ضریب جذب مولی TNB با مقدار 14150 cm^{-1} با استفاده از فرمول شماره ۱ محاسبه شد (۴۰). A برابر است با مقدار جذب در طول موج ۴۱۲ nm، b طول مسیر که

تغییر pH باعث ایجاد شرایط تنفس‌زا برای پروتئین می‌شود که بررسی رفتار و مقاومت پروتئین اصلاح شده در برابر این شرایط بررسی شد. نمونه کراتین هیدرولیز شده به عنوان شاهد نمونه‌های اصلاح شده (به روش آلکیلاسیون و سولفیدولیز) قرار داده شد. در ابتدا کدورت نمونه‌ها در ۵۴۰ نانومتر و غلظت نمونه‌ها اندازه‌گیری شد. سپس یک بازه pH انتخاب شد. در این قسمت از پژوهش بازه pH از ۳ الی ۱۰ انتخاب شد و به صورت مرحله‌ای pH نمونه‌ها کاهش داده شد، و در هر مرحله به خوبی همزده شده و کدورت نمونه‌ها دوباره در ۵۴۰ نانومتر در دمای ۲۵ درجه سانتی‌گراد خوانده شد. جهت بررسی پایداری، مقدار کدورت نمونه کراتین اصلاح شده به روش آلکیلاسیون و سولفیدولیز به صورت روزانه تا ۳۰ روز در ۵۴۰ نانومتر اندازه‌گیری شد.

درصد اصلاح شیمیایی

مقدار گروه تیول آزاد در سیستئین باقی مانده از اصلاح کراتین پر به وسیله معرف‌المن تعیین می‌شود از این رو مقدار اصلاح شده و مقدار اصلاح نشده کراتین را به درصدی به عنوان درجه اصلاح جهت مشخص کردن مقدار باندهای دی‌سولفیدی می‌توان گزارش کرد. طبق فرمول ۲ درجه اصلاح محاسبه می‌شود (۴۴). طبق فرمول ۲ درجه اصلاح محاسبه گردید.

$$\text{فرمول ۲} \quad \frac{s_{\text{un mod}} - s_{\text{mod}}}{s_{\text{un}}} \times 100$$

مقدار $s_{\text{un mod}}$ نشان‌دهنده مقدار اصلاح نشده برای کراتین که کمایش ۳۵۰ میکرومول به‌ازای واحد گرم است. مقدار s_{mod} نشان‌دهنده مقدار محاسبه شده باندهای دی‌سولفیدی با استفاده از معرف‌المن است.

یافته‌ها

کراتین موجود در پر مرغ کشتارگاهی در محلول سود ۰/۲ مولار با راندمان ۶۹/۸ درصد استخراج شد. درجه هیدرولیز با استفاده از آنزیم آلکالاز ۲۱ درصد توسط روش pH-stat تعیین گردید. مقدار متوسط نتایج آزمایش‌های بهینه سازی اصلاح شیمیایی کراتین به روش آلکیلاسیون در جدول ۵ آمده است. جدول تحلیل نتایج آنوا به‌دست آمده بر اساس روش تاگوجی برای

دستگاه اسپکتوفوتومتر (JENWAY-model 6310-UK) در طول موج ۵۴۰ نانومتر خوانده شد (۴۱).

FTIR

تست FTIR برای نمونه کراتین اصلاح شده به روش آلکیلاسیون و سولفیدولیز و کراتین هیدرولیز شده به عنوان نمونه اصلاح نشده به منظور تأیید گروه‌های عاملی (۴۲) توسط دستگاه (THERMO- model AVATAR-USA) FTIR طول موج ۴۵۰ تا ۴۰۰۰ انجام گردید.

تعیین اندازه کراتین هیدرولیز شده

در این پژوهش برای تأیید اندازه سایز پروتئین آنالیز-SDS PAGE با ژل بالای ۵ درصد و ژل پایین ۱۴/۵ درصد استفاده شد.

DLS

روش پراکنده‌گی دینامیکی نور یکی از روش‌های مناسب برای تعیین توزیع ابعاد ذرات و تعیین تجمع در محلول‌های پروتئینی است (۴۳) در این پژوهش هدف از انجام تست DLS تعیین ابعاد ذرات و مقدار پراکنده‌گی نمونه‌ها در محلول آبی است. این آنالیز در پژوهشگاه رنگ تهران توسط دستگاه HORIBA- (DLS model SZ-10- Japan) انجام شد.

اندازه‌گیری حلایت در آب

جهت بررسی مقدار حلایت کراتین اصلاح شده در آب مقادیر ۰/۰۰۰۱ الی ۰/۱ از گرم کراتین اصلاح شده به روش آلکیلاسیون و سولفیدولیز توزین شد در یک میلی‌لیتر آب قطر حل شد. محلول ورتکس شد و مقدار کدورت آن در ۵۴۰ نانومتر اندازه‌گیری شد.

بررسی پایداری حلایت کراتین اصلاح شده

کراتین اصلاح شده توسط روش آلکیلاسیون و سولفیدولیز طی سه دسته آزمایش (مقاومت در برابر pH، مقاومت در برابر نیتروی گریز از مرکز و مدت زمان پایداری) جهت بررسی مقاومت در برابر تشکیل توده‌های پروتئینی و ایجاد رسوب، عوامل نایپایدار کننده در محیط مانند تغییرها و نوسان‌ها pH و هم‌چنین مدت زمان یکنواختی محلول کراتینی و حفظ محتوای پروتئینی انجام شد.

جدول ۵: نتایج بهدست آمده از آزمایش‌های طراحی شده توسط نرم‌افزار تاگوچی برای بهینه‌سازی اصلاح شیمیایی کراتین به روش آلکیلاسیون

آزمایش ^۳	شماره	مقدار متوسط جذب
۱		۰/۳۰۲
۲		۰/۳۲۵
۳		۰/۱۹۱
۴		۰/۲۴۷
۵		۰/۲۰۲
۶		۰/۱۳۱
۷		۰/۲۷۱
۸		۰/۱۳۰
۹		۰/۲۰۹

جدول ۶: تحلیل نتایج آنوا آزمایش‌های طراحی شده توسط نرم‌افزار تاگوچی برای بهینه‌سازی اصلاح شیمیایی کراتین به روش آلکیلاسیون

ردیف	عوامل	DOF	مجموع مریعات	واریانس (v)	نسبت F (F)	جمع خالص (s ³)	درصد %
۱	نسبت یداستیک اسید/سیستئین	۲	۰/۰۱	۰/۰۰۵	—	۰/۰۱	۲۶/۸۹۶
۲	pH	۲	۰/۰۱۳	۰/۰۰۶	—	۰/۰۱۳	۳۶/۷۰۲
۳	دما	۲	۰/۰۰۷	۰/۰۰۳	—	۰/۰۰۷	۲۰/۹۴۲
۴	زمان	۲	۰/۰۰۵	۰/۰۰۲	—	۰/۰۰۵	۱۵/۱۹۴
۵	کل	۸	۰/۰۳۷	—	—	۰/۰۱	%۱۰۰

جدول ۷: نقاط بهینه و نتیجه قابل انتظار از آزمایش‌های طراحی شده توسط نرم‌افزار تاگوچی برای بهینه‌سازی اصلاح شیمیایی کراتین به روش آلکیلاسیون

ردیف	عوامل	توضیحات سطح	سطح
۱	نسبت یداستیک اسید/سیستئین	۲	۲
۲	pH	۱۰	۳
۳	دما	۴	۱
۴	زمان	۹۰	۳
۰/۲۲۵	میانگین عالی عملکرد فعلی		
۰/۰۸۶	نتیجه قابل انتظار از نقطه بهینه		

³ Optical density

طبق جدول ۷ در شرایط بهینه دمای ۴ درجه سانتی گراد، نسبت ۲ برابر یدواستیک اسید به سیستئین موجود در پر، pH برابر با ۱۰ و زمان ۹۰ دقیقه به S-کراتین کربوکسی متیل تبدیل می شود. تأثیر عوامل تأثیرگذار در بهینه سازی اصلاح شیمیایی کراتین به روش آلکیلاسیون pH با ۳۶/۷۰۲ درصد بیشترین تأثیر و بهترین نسبت یدواستیک اسید / سیستئین با ۲۶/۸۹۶ درصد سپس دما با ۲۰/۹۴۲ درصد و در انتها زمان واکنش است.

جدول ۹

جدول ۸: نتایج بهدست آمده از آزمایش های طراحی شده توسط نرم افزار تاگوچی برای بهینه سازی اصلاح شیمیایی کراتین به روش سولفیدولیز

شماره آزمایش	مقدار متوسط جذب
۱	۰/۸۶۴
۲	۰/۷۹۴
۳	۰/۶۱۵
۴	۰/۳۸۷
۵	۰/۴۰۲
۶	۰/۲۶۱
۷	۰/۳۳۳
۸	۰/۲۷۹.
۹	۰/۳

جدول ۹: تحلیل نتایج آنوا آزمایش های طراحی شده توسط نرم افزار تاگوچی برای بهینه سازی اصلاح شیمیایی کراتین به روش سولفیدولیز

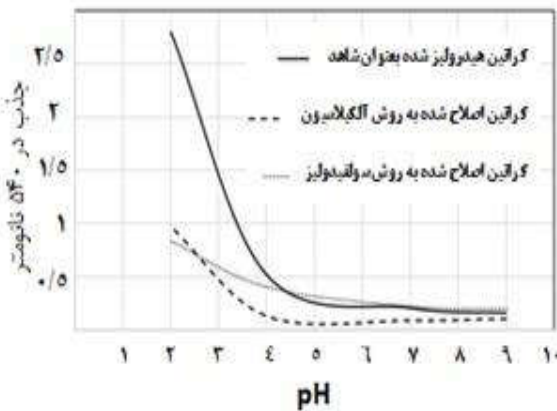
ردیف	عوامل	DOF (f)	مجموع مربعات (S)	واریانس (V)	نسبت F (F)	جمع خالص (S')	درصد %
۱	دما	۲	۰/۳۷۴	۰/۱۸۷	۰/۸۷۶	۰/۳۶۵	۸۷/۹۶۷
۲	نسبت بافر سولفت به کراتین	۲	۰/۰۲۹	۰/۰۱۴	۳/۵۶۱	۰/۰۲۱	۵/۰۸۷
خطا		۴	۰/۰۱۶	۰/۰۰۴			۷/۹۴۶
کل		۸	۰/۴۲				۱۰۰

جدول ۱۰: نقاط بهینه و نتیجه قابل انتظار از آزمایش های طراحی شده توسط نرم افزار تاگوچی برای بهینه سازی اصلاح شیمیایی کراتین به روش سولفیدولیز

ردیف	عوامل	توضیحات سطح	سطح
۱	دما	۲۵	۳
۲	نسبت بافر به سیستئین	۲	۳

محاسبه شده طبق فرمول ۲ در این روش ۶۶ درصد بوده است. بررسی پایداری انجام شده بر روی کراتین اصلاح شده بهروش آکیلاسیون و سولفیدولیز در مقایسه با کراتین هیدرولیز شده همان طور که در نمودار ۱ نشان داد که S-سولفوسیستین کراتین تولید شده بهروش سولفیدولیز در pH $\frac{3}{3}5/3$ برابر با $3, 3, 3$ درصد نسبت به نمونه کراتین هیدرولیز شده بهعنوان شاهد پایدارتر است. همچنین پایداری بررسی شده S-کراتین کربوکسی متیل تولید شده در روش آکیلاسیون در نمودار ۱ نشان داد که مقاومت در برابر رسوبدهی و پایداری حلالت پروتئین به طوری است که در pH برابر با $3, 3, 3$ درصد نسبت به نمونه شاهد خود پایدارتر است.

طبق جدول ۹ آنالیز نتایج توسط نرم افزار تاگوچی نشان داد که دما بیشترین تأثیر در اصلاح شیمیایی بهروش سولفیدولیز را با ۸۷ درصد و نسبت بافر سدیم سولفات به سیستین کمترین تأثیر را با $5/087$ درصد دارد که نشان دهنده تأثیر بسزای دما در افزایش فعالیت بافر توسط بافر است. همان طور که در جدول ۱۰ مشاهده می شود در اصلاح شیمیایی بر روی کراتین هیدرولیز شده پر مرغ کشتارگاهی با روش سولفیدولیز نقاط بهینه داده شده توسط نرم افزار تاگوچی دمای 35° درجه سانتی گراد و نسبت دو برابر بافر سولفات واکنش دهنده به مقدار سیستین موجود بوده است. در این روش طبق محاسبات مقدار تیول آزاد محاسبه شده توسط معرف المن $10^{-12/025}$ مول بوده و درجه اصلاح



نمودار ۱: مقایسه پایداری انجام شده کراتین اصلاح شده بهروش آکیلاسیون و سولفیدولیز با کراتین هیدرولیز شده در pH های مختلف

هیدرولیز شده بهعنوان شاهد تنها $9/8$ درصد در طی 30 روز محتوای پروتئینی خود را حفظ کرده است. همچنین این بررسی با اندازه گیری مقدار پروتئین موجود در محلول توسط معرف بیورت نیز تأیید شد.

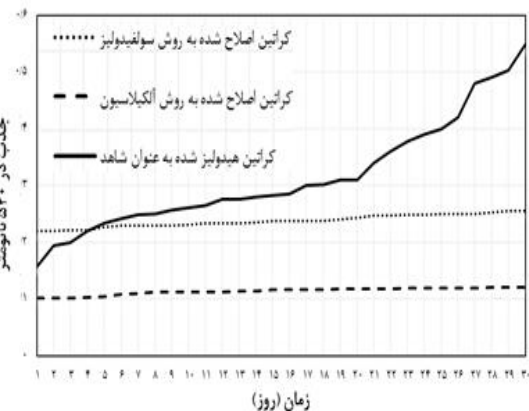
بررسی زمان پایداری با هدف به دست آوردن مدت زمانی که کراتین های اصلاح شده توانایی حفظ محتوای پروتئینی را دارند، میانگین عالی عملکرد فعلی $0/475$ میانجیه قابل انتظار از نقطه بیهینه $0/241$

در میان ویژگی های عملکردی پروتئین ها، حلالت یکی از مهم ترین و اساسی ترین آن ها است که بر روی کاربرد آن در فرمولاسیون تأثیر دارد. حلالت نمونه S-سولفوسیستین کراتین و S-کراتین کربوکسی متیل در آب مقطر در دمای اتفاق با اندازه گیری مقدار کدورت در 540 نانومتر انجام شد که هر دو نمونه با شاهد آب مقطر سنجیده شد و نتایج طبق نمودار ستونی 3 نشان داد که هر دو نمونه تا غلظت $1/100$ g/1 حلالت داشته و دارای مقدار حدودی جذب $1/0$ بوده اند، که نشان دهنده حلالت

با بررسی مقدار کدورت با روش اندازه گیری جذب توسط دستگاه اسپکتروفوتومتر در 540 نانومتر انجام شد. کراتین هیدرولیز شده به عنوان معیار مقایسه قرار گرفت. نتایج در نمودار 2 تحلیل نمودار 2 نشان داد که S-کراتین کربوکسی متیل تولید شده در روش آکیلاسیون در طی مدت زمان 30 روز نگهداری در دمای 4 درجه سانتی گراد دارای $81/19$ درصد و S-سولفوسیستین کراتین، (کراتین اصلاح شده بهروش سولفیدولیز) دارای $86/3$ درصد پایداری داشته است، در صورتی که کراتین

پراکندگی نور از ذرات و حرکت ذرات باعث نوسانات تعداد فوتون در آشکارساز می شود.

این دو ماده در آب است و محلول یکنواخت ایجاد شده است. آزمایش DLS یک روش ایدهآل برای اندازه‌گیری اندازه ذرات معلق از ۱ نانومتر به حدود ۱۰ میکرومتر (بستبه چگالی ذرات) است.



نمودار ۲: بررسی مدت زمان پایداری کراتین اصلاح شده به روش سولفیدولیز در مقایسه با کراتین هیدرولیز شده از طریق اندازه‌گیری مقدار کدورت ایجاد شده و خواندن جذب نمونه‌ها در ۵۴۰ نانومتر در طی ۳۰ روز و نگهداری در دمای ۴ درجه سانتی‌گراد

هدف از انجام تست FTIR در این پژوهش تأیید گروههای عاملی است که انتظار می‌رود در طی انجام واکنش‌ها بر روی پروتئین‌ها منتقل شده باشد، نتایج در نمودار ۴ نشان می‌دهد که پیک‌های شاخص در طیف FTIR پروتئین‌ها مربوط به پیوندهای پپتیدی می‌باشد. پیوندهای پپتیدی اصلی‌ترین واحد ساختاری در زنجیر پلی‌پپتیدی است. در نمونه‌های FTIR گرفته شده در هر سه جواب شاهد پیک cm^{-1} ۳۷۶۰ الی ۳۷۶۴ هستیم که نشان‌دهنده $O-H$ آزاد و مربوط به آب موجود در نمونه‌ها است. از cm^{-1} ۳۱۰۰ الی ۳۵۰۰ نشان‌دهنده پیوند N-N است که در هر سه نمونه کراتین موجود است و نشان‌دهنده پیوند پپتیدی است. در نمونه هیدرولیز شده طیف وسیع‌تری از گروههای آمینی مشخص است به صورت جزئی تر پیک cm^{-1} ۳۲۲۰ مربوط به پیوند N-H درون مولکولی و cm^{-1} ۳۳۵۱ مربوط به آمین نوع دوم، است. پیک تقریبی cm^{-1} ۲۹۰۰ در هر سه نمونه نشان‌دهنده پیوند C-H در آلکان‌ها است که در تست هیدرولیز شده این پیک تیزتر است (۴۵) ارتعاشات در پیوندهای $C=C$ و $C=N$ در منطقه عمومی بین cm^{-1} ۱۳۰۰-۱۶۰۰ رخ می‌دهد. جذب شامل کشش و انقباض تمام پیوندهای و تعامل بین این حالت‌های کششی است. این محدوده در هر سه نمونه به خوبی قابل مشاهده

با توجه به جواب نتیجه تست DLS نمایش داده شده در نمودار شماره ۳، نمونه کراتین هیدرولیز شده محلول در سود رقیق دارای PI برابر با $0/552$ و میانگین وزنی قطر $2090/5$ نانومتر و اندازه متوسط ذرات $990/3$ نانومتر است، S-کراتین کربوکسی-متیل محلول در آب قطر دارای PI برابر با $0/476$ و میانگین وزنی قطر $326/3$ نانومتر و دارای اندازه متوسط ذرات $157/3$ نانومتر است. در نمونه S-سولفوسیستئین کراتین محلول در آب قطر دارای مقدار PI برابر با $0/475$ و میانگین وزنی قطر $327/4$ نانومتر و اندازه متوسط ذرات $136/2$ نانومتر است. نتایج تست DLS نشان داد که کراتین‌های اصلاح شده دارای اندازه متوسط ذرات کوچکتری نسبت به نمونه کراتین هیدرولیز شده هستند. مقایسه PI نشان داد که هر دو محلول اصلاح شده دارای پراکندگی یکنواخت‌تری نسبت به نمونه کراتین هیدرولیز شده است. هم‌چنین میانگین وزنی قطر S-کراتین کربوکسی-متیل و S-سولفوسیستئین کراتین تقریباً یکسان بوده و بسیار کوچک‌تر از نمونه کراتین هیدرولیز شده است که پراکندگی مناسب ذرات برخودار هستند.

نمونه کراتین اصلاح شده به روش سولفیدولیز تیزتر است. پیک $1610-1550\text{ cm}^{-1}$ و $1420-1300\text{ cm}^{-1}$ مربوط به گروه کربوکلسیک اسید و پیک 1405 cm^{-1} به خوبی و قله‌ای بزرگ در FTIR مربوط به نمونه کراتین اصلاح شده دیده می‌شود (توسط فلش توپر نشان داده شده است)، همچنین در پیک 1690 cm^{-1}

است. اما به صورت اختصاصی در نمونه کراتین هیدولیز شده عدد 1643 cm^{-1} مربوط به وجود پیوند C-N در آمیدها است. پیک 1690 cm^{-1} در نمونه کراتین اصلاح شده به روش آلکیلاسیون و همچنین نمونه کراتین اصلاح شده سولفیدولیز مشاهده می‌شود که مربوط به پیوندهای C=O موجود در آمیدها است که در

Calculation Results

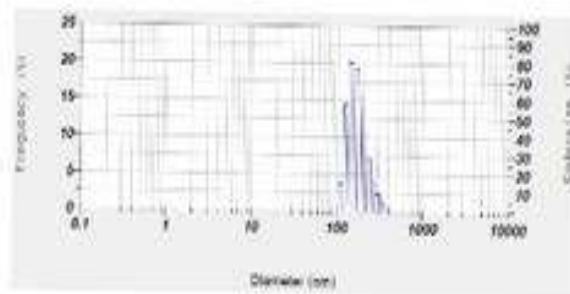
Peak No.	S.P Area Ratio	Mean	S. D.	Mode
1	1.00	176.2 nm	49.2 nm	144.8 nm
2	—	— nm	— nm	— nm
3	—	— nm	— nm	— nm
Total	1.00	175.2 nm	49.2 nm	144.8 nm

Histogram Operations

Size (Median)	: 163.2 nm
% Cumulative (2)	: 10.0 (%) - 125.2 (nm)
% Cumulative (5)	: 50.0 (%) - 163.2 (nm)
% Cumulative (10)	: 90.0 (%) - 241.4 (nm)
R Parameter	: 0.015452

Cumulant Operations

Z-Average	: 327.4 nm
Pt	: 0.475



نمونه کراتین اصلاح شده به روش سولفیدولیز

Calculation Results

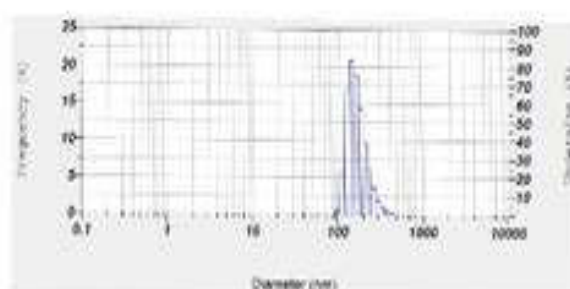
Peak No.	S.P Area Ratio	Mean	S. D.	Mode
1	1.00	168.5 nm	48.6 nm	143.3 nm
2	—	— nm	— nm	— nm
3	—	— nm	— nm	— nm
Total	1.00	168.5 nm	48.6 nm	143.3 nm

Histogram Operations

Size (Median)	: 157.3 nm
% Cumulative (2)	: 10.0 (%) - 121.8 (nm)
% Cumulative (5)	: 50.0 (%) - 157.3 (nm)
% Cumulative (10)	: 90.0 (%) - 231.9 (nm)
R Parameter	: 0.012606

Cumulant Operations

Z-Average	: 326.3 nm
Pt	: 0.476



نمونه کراتین اصلاح شده به روش الکیلاسیون

Calculation Results

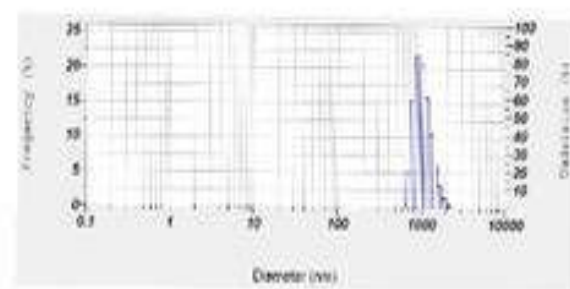
Peak No.	S.P Area Ratio	Mean	S. D.	Mode
1	1.00	1042.7 nm	260.6 nm	902.4 nm
2	—	— nm	— nm	— nm
3	—	— nm	— nm	— nm
Total	1.00	1042.7 nm	260.6 nm	902.4 nm

Histogram Operations

Size (Median)	: 990.3 nm
% Cumulative (2)	: 10.0 (%) - 770.0 (nm)
% Cumulative (5)	: 50.0 (%) - 990.3 (nm)
% Cumulative (10)	: 90.0 (%) - 1390.5 (nm)
R Parameter	: 0.003711

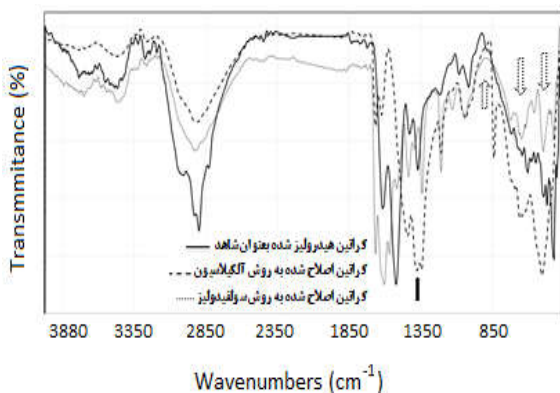
Cumulant Operations

Z-Average	: 2090.5 nm
Pt	: 0.552



نمونه کراتین هیدرولیز شده

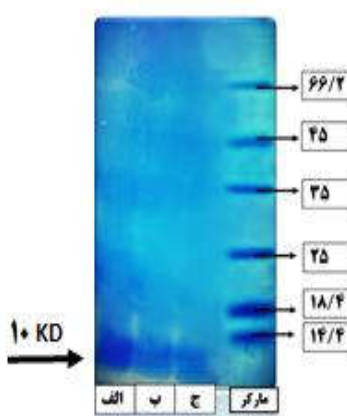
نمودار ۳: نتایج DLS کراتین اصلاح شده به روش الکیلاسیون، سولفیدولیز و کراتین هیدولیز شده



نمودار ۴: نتایج آنالیز FTIR کراتین اصلاح شده به روش آلکیلاسیون و سولفیدولیز در مقایسه با کراتین هیدرولیز شده

و cm^{-1} ۵۰۰-۵۴۰ و پیوند S=O دچار همپوشانی شده و پیک تیزتر از نمونه کراتین هیدرولیز شده و کراتین اصلاح شده با روش سولفیدولیز است. در پیکهای cm^{-1} ۱۰۶۷ گروه O=S=O و در cm^{-1} ۱۵۸ گروه سولفات در نمونه اصلاح شده به روش سولفیدولیز به طور کامل مشهود است و در ۶۷۶ نیز وجود یون سولفات مشخص است در cm^{-1} ۴۵۱ آریل سولفیدها همچنین سولفات مشخص است در cm^{-1} ۷۵۱ S-O و C=C دارای همپوشانی است (نقاط مشخص شده توسط فلاش با نقطه چین های ریز) از این رو اصلاح گروه های دی سولفیدی در کراتین با روش سولفیدولیز نیز انجام شده و گروه های عاملی در پیک FTIR به طور کامل مشخص است (۴۶، ۴۷).

پیوند C=O نیز گواه این ادعا است که در اصلاح شیمیایی کراتین هیدرولیز شده به روش آلکیلاسیون گروه کربوکلیسیک اسید به درستی جایگزین شده و باعث بهبود شرایط کراتین شده است. در کراتین هیدرولیز شده و کراتین اصلاح شده به روش سولفیدولیز نیز پیکهای گروه کربوکسی نیز موجود است اما با قله های کوتاه که بدعت وجود اسیدهای آمینه موجود در توالی پروتئین است. پیک ۷۰۵-۷۰۷ حاکی از وجود C-S و در cm^{-1} ۱۰۳۰-۱۰۶۰ cm^{-1} وجود S=O و cm^{-1} ۱۰۵۰-۱۲۰۰ C=S همگی در کراتین هیدرولیز شده موجود است، همچنین وجود cm^{-1} ۴۵۰-۵۵۰ گروه های دی سولفیدی است. که در نمونه هیدرولیز شده به خوبی قابل مشاهده است. در پیک cm^{-1} ۵۳۱ وجود پیوند C-I



شکل ۱: ژل الکتروفورز ۱۴/۵ درصد انجام شده برای سه نمونه کراتین اصلاح شده به روش آلکیلاسیون (ج)، کراتین اصلاح شده به روش سولفیدولیز (الف) و کراتین هیدرولیز شده (ب)

هیدرولیز شده یک اسمیر با بازه زیر ۵۰۰۰ دالتون را نشان می دهد که نشان دهنده هیدرولیزاسیون صورت گرفته است. هم-

همان طور که در شکل ۱ مشاهده می شود ژل الکتروفورز ۱۴/۵ درصد انجام شده نشان داد که نمونه کراتین استخراجی دارای

به محیط اسیدی ضعیف بیشترین پایداری را دارد. Rajabinejad و همکاران در سال ۲۰۱۸ سولفیدولیز را تنها برای استخراج کراتین از پشم توسط اوره و سدیم متابی سولفیت همراه با روش اکسایشی و کاهشی بررسی کردند و توانستند به ۳۲ درصد راندمان استخراج برسند اما پایداری را بررسی نشده است (۴۴). روش سولفیدولیز برای اصلاح باندهای دی سولفیتی و افزایش پایداری تاکنون مورد بررسی قرار نگرفته بود در این تحقیق در مقایسه با روش آلکیلاسیون شرایط کمابیش برابری را از خود نشان داد. Ikkai و همکاران در سال ۲۰۰۱ کراتین کربوکسی متیل شده را در تیوگلیکولیک اسید حل کرده و همراه با محلول اوره و پتاس به صورت محلول درآورده و جهت بررسی توالی ساختمان دوم CD و SLS/DLS آنها بررسی شد (۴۸) اما در این تحقیق بررسی تست فقط جهت بررسی پراکندگی ذرات و به عنوان معیاری برای میزان تجمع و حلالیت استفاده شد.

نتیجه‌گیری

داروها و محصولات جدید مبتنی بر پروتئین در طول دهه آینده هزاره جدید به سرعت در حال افزایش است. علاوه بر صنعت دارو و مباحث درمانی پروتئین‌ها در صنایع غذایی و آرایشی بهداشتی کاربرد گسترده‌ای دارند. پایداری و ثبات این پروتئین‌ها جهت استفاده و نگهداری حائز اهمیت است. کراتین نوعی پروتئین ساختاری است که استفاده بالایی در صنایع غذایی و آرایشی بهداشتی دارد که در آب نامحلول بوده و ناپایدار است. وزن کراتین در استخراج قلیایی توسط سدیم‌هیدروکسید حدود ۱۰/۵ کیلوالتون است که جهت دست‌یابی به سایز پایین‌تر از هیدرولیز آنزیمی توسط آنزیم صنعتی الکالاز انجام شد. کراتین هیدرولیز شده وزنی کمتر از ۵۰۰۰ دالتون دارد اما تمایل بالا به تجمع و تشکیل رسوب از مشکلات کراتین هیدرولیز شده است. از این‌رو اصلاح شیمیایی به عنوان روشی برای بهبود عملکرد کراتین هیدرولیز شده استفاده شد که توسط دو روش آلکیلاسیون و سولفیدولیز مورد بررسی قرار گرفت، که روش آلکیلاسیون در دمای ۴ درجه سانتی‌گراد، مقدار ۲ برابر یدواستیک اسید به مقدار سیستئین موجود، در pH ۱۰ و زمان ۹۰ دقیقه انجام شد و اصلاح شیمیایی با روش سولفیدولیز در دمای ۳۵ درجه سانتی‌گراد و مقدار دو برابر بافر سولفیت به مقدار سیستئین محلول انجام شد. اصلاح شیمیایی یک تغییر دائمی است اما اصلاح

سولفیدولیز نیز دارای چنین اسمیر با بازه ۵۰۰۰ دالتون هستند، که پروتئین کراتین و سایز آن را تأیید می‌کند.

بحث

اصلاح شیمیایی با استفاده از کربوکسی‌هالیدها از دیرباز مورد توجه بوده است. ید بهترین گروه ترک کننده در واکنش‌های جانشینی است و روش آلکیلاسیون با یدواستیک اسید باعث انتقال بار منفی، و تولید S-کراتین کربوکسی متیل می‌شود که در محیط‌های اسید دارای پایداری بهتری نسبت به نمونه کراتین هیدرولیز شده به عنوان شاهد است. نتایج تاگوچی نشان داد که هرچه واکنش آلکیلاسیون در pH محیط بازی به سمت باز قوی انجام شود احتمال راندمان کیفیت بالاتر محصول تولید شده وجود دارد، اما با توجه به این‌که محیط‌های بازی قوی احتمال تخریب اسید آمینه‌ها و هیدرولیز شیمیایی را افزایش می‌دهد بنابراین در حداکثر pH ممکن واکنش آلکیلاسیون انجام شد. Schrooye و همکاران در سال ۲۰۰۰ کراتین را توسط اوره و ۲-مرکاپتواتانول استخراج و اصلاح شیمیایی را با روش آلکیلاسیون توسط سه ماده یدواستامید، یدواستیک اسید و برموسوکسینیک اسید بررسی و مقایسه کردند و نتوانستند برای تهیه فیلم با محلول اوره ۸ مولار، EDTA، تریس و ۲-یداستامید و ۴۰ درصد اصلاح با برموسوکسینیک اسید به دست آورند (۳۱). همچنین Schrooyen و همکاران در سال ۲۰۰۱ کراتین استخراج شده توسط اوره و ۲-مرکاپتواتانول را که توسط یدواستیک اسید اصلاح شیمیایی کرده بودند به علت عدم پایداری از سدیم دودسیل‌سولفات جهت برقراری پایداری استفاده کردند (۶). همچنین Crestfield و همکاران در سال ۱۹۶۳ اصلاح شیمیایی و تولید پروتئین کربوکسی متیلاسیون شده را بررسی کردند (۳۷). در این تحقیق با توجه به روش کم‌هزینه‌تر استخراج و همچنین هیدرولیز پروتئین روش اصلاح شیمیایی ملایم‌تر و کامل‌تر انجام شد و اصلاح شیمیایی پروتئین جهت تولید کربوکسی متیل کراتین در محیطی با قدرت یونی پایین‌تری صورت گرفت. کراتین دارای پیوندهای دی‌سولفیدی است که در اصلاح شیمیایی با روش سولفیدولیز باعث کاهش پیوندهای دی‌سولفیدی و سیستئین‌های موجود در کراتین به S-سولفوسیستئین تبدیل می‌شود که در محیط‌های خنثی و متمایل

شیمیایی انجام شده بر روی وزن مولکولی تأثیر نداشته و SDS-Page نشان داد وزن مولکولی کراتین هیدرولیز شده، S-کراتین کربوکسی متیل و S-سولفوسیستئین کراتین با هم برابرند. نمونه کراتین اصلاح شده با روش آلکیلاسیون دارای در درجه اصلاح ۷۲ درصد و در روش سولفیدولیز با درجه اصلاح ۶۶ درصد انجام شد. هم‌چنین بررسی پایداری نشان داد که S-کراتین کربوکسی متیل در pH برابر با ۳، ۲۸۸ /۶۵ درصد نسبت به نمونه کراتین هیدرولیز شده پایدارتر است. هم‌چنین S-کراتین کربوکسی متیل ۸۱/۱۹ درصد و S-سولفوسیستئین کراتین ۸۶/۳ درصد در طی ۳۰ روز محتوای پروتئینی خود را حفظ کرده و دارای حلالیت بیشتر بوده‌اند. با توجه به نتایج DLS پراکندگی ذرات در دو روش سولفیدولیز و آلکیلاسیون به ترتیب ۰/۴۷۵ و ۰/۴۷۶ ، دارای اندازه متوسط ذرات به ترتیب ۱۳۶/۲ و ۱۵۷/۳ نانومتر است در مقابل کراتین هیدرولیز شده با پراکندگی ذرات ۰/۵۵۲ و اندازه متوسط ۹۹۰/۳ نانومتر. کمتر بودن پراکندگی ذرات نشان‌دهنده مهار فرآیند اگریگاسیون و تجمع ذرات پروتئین در نمونه‌های اصلاح شده است. نتایج FTIR نشان‌دهنده وجود گروه‌های عاملی قابل انتظار در هر دو روش اصلاح شیمیایی است. هم‌چنین بررسی حلالیت حاکی از حالت S-کراتین کربوکسی متیل و S-سولفوسیستئین کراتین در آب تا غلظت ۱/۰۰ g در دمای محیط است. پیشنهاد می‌شود که بر روی کراتین پایدار شده تست‌های حساسیت انسانی به منظور استفاده در مواد آرایشی بهداشتی انجام شود.

سپاسگزاری

نویسنده‌گان از کلیه همکاران و مسئول آزمایشگاه بیوتکنولوژی که در انجام این تحقیق همکاری کردند و هم‌چنین از پژوهشگاه رنگ تهران، جهت انجام تست‌های تکمیلی این پژوهش کمال تشکر را دارند.

1. Jacob S, Shirwaikar A, Srinivasan K, Alex J, Prabu S, Mahalaxmi R, et al. Stability of proteins in aqueous solution and solid state. *Indian J. Pharm. Sci.* 2006;68(2).
2. e Silva ACS, Silveira JN. Correlation between the degree of hydrolysis and the peptide profile of whey protein concentrate hydrolysates: effect of the enzyme type and reaction time. *Am J Food Technol.* 2013;8(1):1-16.
3. Mokrejš P, Huťa M, Pavlačková J, Egner P. Preparation of keratin hydrolysate from chicken feathers and its application in cosmetics. *JoVE.* 2017;(129):e56254.
4. Gromiha MM. Protein bioinformatics: from sequence to function. 1nd ed. academic press; 2010.
5. Dhillon GS. Protein byproducts: transformation from environmental burden into value-added products. 2nd ed. Academic Press; 2017.
6. Schroozen PM, Dijkstra PJ, Oberthür RC, Bantjes A, Feijen J. Stabilization of solutions of feather keratins by sodium dodecyl sulfate. *J Colloid and Interface Sci.* 2001;240(1):30-9.
7. Laba W, Zarowska B, Chorazyk D, Pudlo A, Piegza M, Kancelista A, Kopec W. New keratinolytic bacteria in valorization of chicken feather waste. *AMB Express.* 2018;8(1):9.
8. Kamarudin NB, Sharma S, Gupta A, Kee CG, Chik SMSBT, Gupta R. Statistical investigation of extraction parameters of keratin from chicken feather using Design-Expert. *3 Biotech.* 2017;7(2):127.
9. Staroń P, Banach M, Kowalski Z, Staroń A. Hydrolysis of keratin materials derived from poultry industry. *PECO.* 2014;8(2).
10. Krejci O, Mokrejs P, Sukop S, editors. Preparation and characterization of keratin hydrolysates. Mathematical Methods and Techniques in Engineering and Environmental Science: Proceedings of the 13th WSEAS International Conference on Mathematical and Computational Methods in Science and Engineering. 2011.
11. Navone L, Speight R. Understanding the dynamics of keratin weakening and hydrolysis by proteases. *PLOS ONE.* 2018;13(8):e0202608.
12. Bragulla HH, Homberger DG. Structure and functions of keratin proteins in simple, stratified, keratinized and cornified epithelia. *J Anat.* 2009;214(4):516-59.
13. Sinkiewicz I, Śliwińska A, Staroszczyk H, Kołodziejska I. Alternative methods of preparation of soluble keratin from chicken feathers. *Waste and biomass valorization.* 2017;8(4):1043-8.
14. Karthikeyan R, Balaji S, Sehgal P. Industrial applications of keratins—A review. *J SCI IND RES INDIA.* 2007;6(9):710-715.
15. Shortle D. Denatured states of proteins and their roles in folding and stability. *COSB.* 1993;3(1):66-74.
16. Tanford C. Protein denaturation. *Adv protein chem.* 1968;24(1). p. 121-282.
17. Zapadka KL, Becher FJ, Gomes Dos Santos A, Jackson SE. Factors affecting the physical stability (aggregation) of peptide therapeutics. *Interface Focus.* 2017;7(6):20170030.



18. Hovgaard L, Frokjaer S, van de Weert M. Pharmaceutical formulation development of peptides and proteins: CRC Press; 2012.
19. Fraser R, MacRae T, Parry D, Suzuki E. The structure of feather keratin. *Polymer*. 197 12(1):35-56.
20. Arai Km, Takahashi R, Yokote Y, Akahane K. Amino-acid sequence of feather keratin from fowl. *Eur J Biochem*. 1983 32(3):501-7.
21. Lee B, Vasmatzis G. Stabilization of protein structures. *COSB*. 1997 8(4):423-8.
22. Umeda K, Nadachi Y, Sakai K, Nogami Y, Sudo M. Water-soluble keratin derivative and use thereof. Google Patents. 2005.
23. Franks F. Protein biotechnology: isolation, characterization, and stabilization. The Humana Press Inc. 1993.
24. Spicer CD, Davis BG. Selective chemical protein modification. *Nat commun*. 2014 5(1):1-14.
25. Schrooyen PM, Dijkstra PJ, Oberthür RC, Bantjes A, Feijen J. Partially carboxymethylated feather keratins. 2. Thermal and mechanical properties of films. *J. Agric. food chem*. 2001 49(1):221-30.
26. Bouteureira O, Bernardes GJ. Advances in chemical protein modification. *J. Chem. Rev*. 2015 115(5):2174-95.
27. Trivedi MV, Laurence JS, Siahaan TJ. The role of thiols and disulfides on protein stability. *COSB*. 2009 10(6):614-25.
28. Hirs CH. (20) Reduction and S-carboxymethylation of proteins. In Methods in enzymology. 3rd ed. Academic Press 1967. p. 199-203.
29. Aćimović JM, Stanimirović BD, Mandić LM. The role of the thiol group in protein modification with methylglyoxal. *JSCS*. 2009 74(8-9):867-83.
30. Chalker JM, Bernardes GJ, Lin YA, Davis BG. Chemical modification of proteins at cysteine: opportunities in chemistry and biology. *ACES*. 2009 4(5):630-40.
31. Schrooyen PM, Dijkstra PJ, Oberthür RC, Bantjes A, Feijen J. Partially carboxymethylated feather keratins. 1. Properties in aqueous systems. *J. Agric. food chem*. 2000 8;48(9):4326-34.
32. Wynn R, Richards FM. (33) Chemical modification of protein thiols: Formation of mixed disulfides. *Methods in Enzymology*. 1nd ed. Academic Press. 1995 1;25(1):351-6.
33. Cole RD. (22) Sulfitolysis. In *Methods in Enzymology*. Academic Press. 1967 (11), p. 206-208).
34. Work E, Work TS. Chemical modification of proteins. Elsevier; 1976.
35. Rothenbuhler E, Kinsella J. The pH-Stat method for assessing protein digestibility: an evaluation. *J. Agric. Food chem*. 1985 33(3),433-438.
37. Crestfield AM, Moore S, Stein WH. The preparation and enzymatic hydrolysis of reduced and S-carboxymethylated proteins. *JBC*.1963 238(2):622-7.
38. Walker JM, editor. The protein protocols handbook. Springer Science & Business Media; 1996.

39. Riddles PW, Blakeley RL, Zerner B. Ellman's reagent: 5, 5'-dithiobis (2-nitrobenzoic acid)—a reexamination. *Anal. biochem.* 1979; 94(1):75-81.
40. Habeeb AF. (37) Reaction of protein sulphydryl groups with Ellman's reagent. In *Methods in enzymology*. Academic Press. 1972. 25, p. 457-464.
41. Buchner J, Kieffhaber T, editors. *Protein folding handbook*. Weinheim: Wiley-VCH; 2005.
42. Barth A. Infrared spectroscopy of proteins. *BBA*. 2007; 1767(9):1073-101.
43. Lorber B, Fischer F, Bailly M, Roy H, Kern D. Protein analysis by dynamic light scattering: Methods and techniques for students. *BAMBEd*. 2012; 40(6):372-82.
44. Rajabinejad H, Zoccola M, Patrucco A, Montarsolo A, Rovero G, Tonin C. Physicochemical properties of keratin extracted from wool by various methods. *SAGE Journal*. 2018; 8(21):2415-24.
45. Prayitno P, Rahmawati D, Griyanitasari G. Sheep wool-derived hydrolyzed keratin from tannery waste of the tanning industry using perhydrol. *MKKP*. 2017; 33(2):73-8.
46. Sharma S, Gupta A, Chik SM, Kee CY, Podder PK, Subramaniam M, Thuraisingham J. Study of different treatment methods on chicken feather biomass. *IIUM Engineering Journal*. 2017; 18(2):47-55.
47. Khosa MA, Wu J, Ullah A. Chemical modification, characterization, and application of chicken feathers as novel biosorbents. *Rsc Advances*. 2013; 3(43):20800-10.
48. Ikkai F, Naito S. Dynamic light scattering and circular dichroism studies on heat-induced gelation of hard-keratin protein aqueous solutions. *Biomacromolecules*. 2002; 3(3):482-7.

